

COMUNE DI SAN MARTINO IN PENSILIS

(Provincia di Campobasso)

Realizzazione di un impianto Agrovoltaico della potenza nominale in DC di 49,007 MWp e potenza in AC di 45 MW denominato "Morrone" e delle relative opere di connessione alla Rete di Trasmissione dell'energia elettrica Nazionale (RTN) nei Comuni di San Martino in Pensilis (CB) e Larino (CB)

Proponente

PIVEXO 1 S.r.l.

PIVEXO 1 SRL
Via Stazione snc - 74011 Castellaneta (TA),
Tel +39 0998441860, Fax +39 0998445168,
P.IVA 03358100737, REA TA-210848,
mail: pivexo1@pec.it

Sviluppatore

 **Greenergy**

GREENERGY SRL
Via Stazione snc - 74011 Castellaneta (TA),
Tel +39 0998441860, Fax +39 0998445168,
P.IVA 02599060734, REA TA-157230,
www.greenergy.it, mail:info@greenergy.it

Elaborato

- Addendum alla relazione denominata "30404A
RELAZIONE CAMPI ELETTRICI E MAGNETICI"

Data

23/02/2024

Codice Progetto

GREEN GP-18

Nome File Addendum alla relazione denominata
"30404A - RELAZIONE CAMP. ELET. MAG."

Codice Elaborato

SIA-11

Revisione

00

Foglio

A4

Scala

-

Rev.	Descrizione	Data	Redatto	Verificato	Approvato
00	Prima emissione	23/02/2024	Ing. Vito Panessa	 Dott. Ing. Busto Canderolo	PIVEXO 1 SRL

	Addendum alla relazione denominata "30304A" – Relazione Campi Elettrici e Magnetici	Pag. 1 di 3
---	---	---------------------------

Sommario

Evidenze documentali in risposta alla nota PNRR-PNIEC 0001594.....	2
Conclusioni.....	3
Allegati.....	3

Evidenze documentali in risposta alla nota PNRR-PNIEC 0001594

In risposta alla nota del Ministero dell'Ambiente e della Sicurezza Energetica Commissione Tecnica PNRR – PNIEC N. 0001594 del 06/02/2024 relativa al Progetto MORRONE, la Scrivente Pivexo 1 riporta qui di seguito i valori di campo magnetico calcolati al fine di definire le ampiezze delle fasce di prima approssimazione rispetto al percorso del Cavidotto in AT di congiungimento della Stazione di Elevazione Utente allo stallo AT della SE RTN 380/150kV sita nel comune di Larino.

Il cavidotto in alta tensione di collegamento tra il Punto di Raccolta situato all'interno della Stazione di Elevazione Utente 150kV Larino e lo stallo in cavo 150kV all'interno della SE della RTN 380/150kV Larino sarà realizzato con un conduttore di alluminio con sezione pari a 1600mm². In accordo alla norma CEI 11-60, tale conduttore potrà sostenere una corrente massima in servizio normale pari a 1100A.

Il calcolo del campo magnetico è stato effettuato utilizzando il Software "Magic" di BESHielding, di cui si riporta in allegato il documento di validazione.

Per effettuare il calcolo delle "DpA" per il collegamento in AT dal Punto di Raccolta a 150kV della Stazione di Elevazione Utente alla Stazione Elettrica della RTN 380/150kV Larino, si è cautelativamente considerato l'esercizio del Cavidotto stesso alla sua massima corrente in servizio normale, ossia 1100A.

Si riporta qui di seguito l'andamento del campo magnetico in prossimità della linea in cavo in Alta Tensione tra il Punto di Raccolta e la SE 380/150kV. Tale cavo risulta interrato ad una profondità di 1,2 metri dal piano campagna.

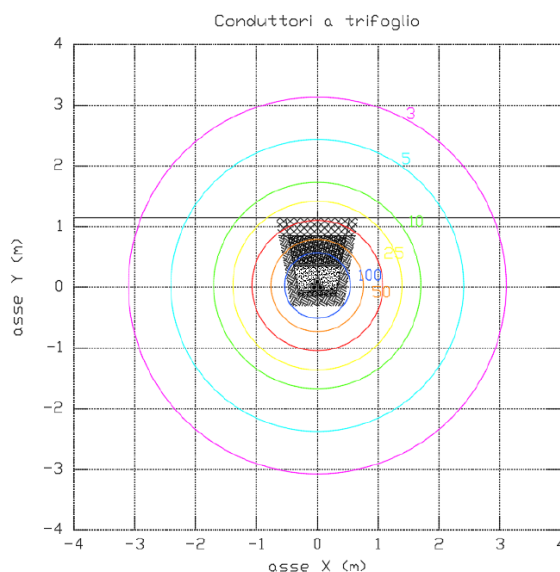


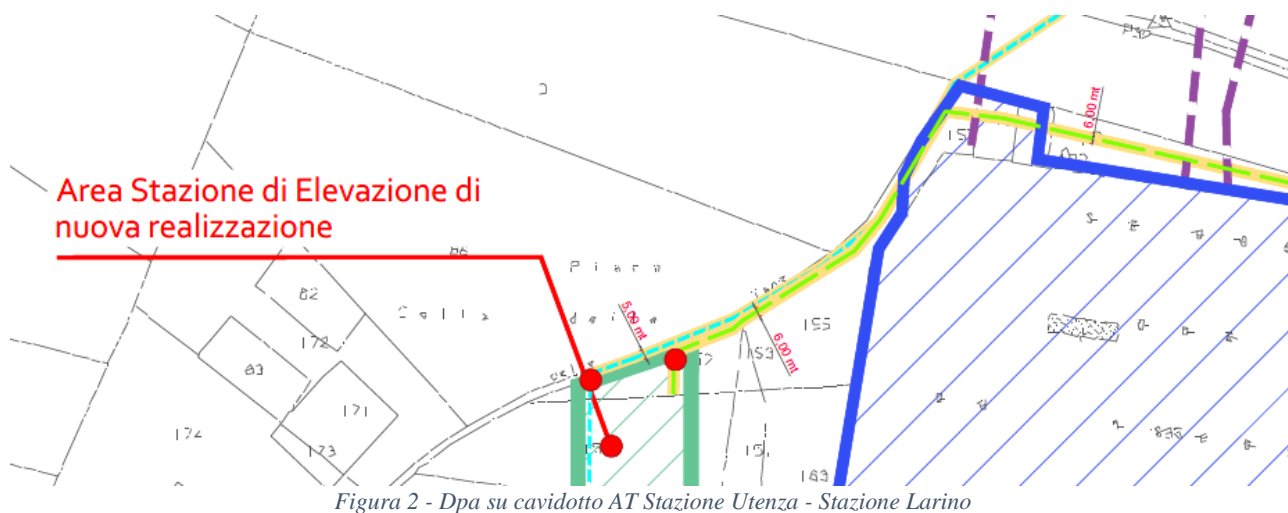
Figura 1 - Grafico dei livelli di campo magnetico prodotti dal cavidotto AT di connessione tra il Punto di Raccolta e la SE 380/150 kV Larino

Dai risultati delle simulazioni sopra riportate ed in particolare dal Grafico in Figura 1, si osserva che il rispetto del valore di qualità di $3\mu\text{T}$ sul piano di campagna a 2,9 metri dall'asse della linea. Si applica pertanto una Dpa di 3 metri per lato dall'asse del Cavidotto AT, come riportato , si evince che esternamente al Punto di Raccolta 150kV Larino, il Campo Magnetico è superiore

Conclusioni

Il DPCM 8 Luglio 2003 fissa i limiti di esposizione per la popolazione ai campi elettrici e magnetici generati da elettrodotti alla frequenza di rete (50Hz). Tali limiti sono pari a $100\mu\text{T}$, $10\mu\text{T}$ e $3\mu\text{T}$ rispettivamente come limite di esposizione, valore di attenzione e obiettivo di qualità: gli ultimi due sono validi per esposizioni superiori alle 4 ore / giorno. In base alla definizione del DM del 29 Maggio 2008, occorre applicare la Dpa alle stazioni elettriche, alle cabine primarie e secondarie e agli elettrodotti ad esse collegati.

Dalle simulazioni effettuate, si evince che è necessario applicare una Dpa di 3 metri per parte dall'asse del cavidotto AT interrato (tratto in verde tratteggiato nella Figura 2), come evincibile dall'estratto del documento TAV_06_E- 2_G CATASTALE CON API-B.



Allegati

Allegato 1 – Validazione del Software BEShielding

Allegato 2 – TAV_06_E- 2_G CATASTALE CON API-B



Documento di Validazione

Algoritmi di calcolo del software MAGIC[®] (MAGnetic Induction Calculation)

Revisione	Data	Elaborato	Approvato
05	11/01/2021	M.F.	S.G.
00 Emissione	07/01/2014	D.B.	M.M.

Sommario

Premessa.....	3
1 Verifica del modulo bidimensionale.....	3
1.1 Confronto con CEI 211-04.....	3
1.2 Confronto con codice CESI.....	4
2 Verifica del modulo tridimensionale.....	7
2.1 Campo prodotto da un segmento finito arbitrariamente orientato.....	7
2.2 Validazione sperimentale del modulo tridimensionale.....	8
3 Verifica del modulo tridimensionale:trasformatore di potenza.....	9
3.1 Verifica del modello MAGIC della singola colonna del trasformatore con modello FEM (Finite Element Method).....	9
3.2 Verifica del modello MAGIC del trasformatore completo con misure sperimentali	12
Conclusioni.....	13

Premessa

Il presente documento riporta le verifiche funzionali del software MAGIC[®] attraverso il confronto con software già esistenti e di comprovata validità e con rilievi sperimentali.

Il confronto si sviluppa in tre parti:

- 1) verifica del modulo bidimensionale
- 2) verifica del modulo tridimensionale
- 3) verifica del modulo tridimensionale di configurazioni impiantistiche con particolare riferimento al trasformatore di potenza

Le principali caratteristiche del software MAGIC[®] sono:

- a) software bi-tridimensionale
- b) integrazione della formula di Biot-Savart
- c) dominio infinito (nessuna condizione al contorno necessaria)
- d) trascurati effetti di mitigazione del campo dovuto a schermatura di fatto (analisi conservativa)
- e) sovrapposizione degli effetti
- f) analisi in regime simbolico (calcolo dei moduli e delle fasi)

Il software è stato sviluppato da tecnici specializzati con la collaborazione e la supervisione di docenti e ricercatori del Politecnico di Torino – Dipartimento Energia (prof. Aldo Canova e Ing. Luca Giaccone).

1 Verifica del modulo bidimensionale

La verifica del modulo bidimensionale è stata condotta mediante confronto con la formulazione analitica, come indicato dalla CEI 211-04, e mediante confronto con un codice di calcolo sviluppato dal CESI.

1.1 Confronto con CEI 211-04

Una possibile validazione del programma utilizzato può essere effettuata confrontando il campo calcolato con il programma stesso e quello calcolato per via analitica, secondo la norma CEI 211-4 paragrafo 4.3, su di un caso in cui questa seconda procedura è applicabile in modo esatto. Tale caso si riferisce ad un sistema di conduttori rettilinei, paralleli e indefiniti.

Sotto queste ipotesi l'induzione magnetica \mathbf{B} è data dall'espressione:

$$\mathbf{B} = \frac{\mu_0}{2\pi} \sum_{k=1}^N \frac{\bar{I}_k}{d_k} \bar{u}_l \times \bar{u}_r \quad (1)$$

in cui N è il numero dei conduttori, d è la distanza tra il conduttore k -esimo e il punto di calcolo; i vettori \bar{u}_l e \bar{u}_r indicano, rispettivamente, il verso della corrente e della relativa normale; \times indica il prodotto vettoriale.

In particolare è stato analizzato il caso, che verrà riportato successivamente, relativo ad una linea a doppia terna su semplice palificazione con corrente di 310 A. Come si può osservare dalla figura 1, le due curve sono praticamente coincidenti.

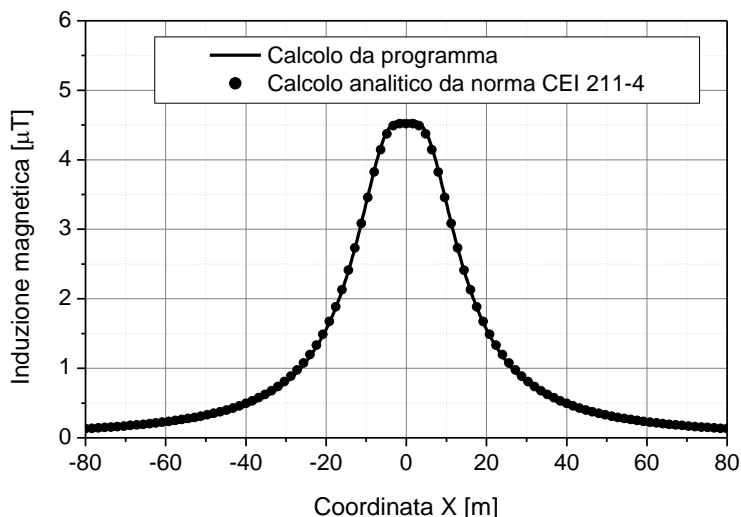


Figura 1: Induzione magnetica al suolo in prossimità di una linea aerea a doppia terna su semplice palificazione con corrente di 310: confronto tra MAGIC® e formula analitica CEI 211-4

Come si può osservare il profilo di induzione magnetica ottenuto dal software MAGIC® coincide esattamente con i punti calcolati mediante la formula analitica CEI 211-4.

1.2 Confronto con codice CESI

L'analisi del campo magnetico prodotto è stata condotta su due terne trifase di cavi affiancate. Le sezioni di affiancamento riguardano (Fig. 2):

- Buca giunti (interasse 70 cm e livello di interramento pari a 1.25 m)
- Formazione piana (interasse 35 cm e livello di interramento pari a 1.25 m)
- Distanza tra le due terne: 4m

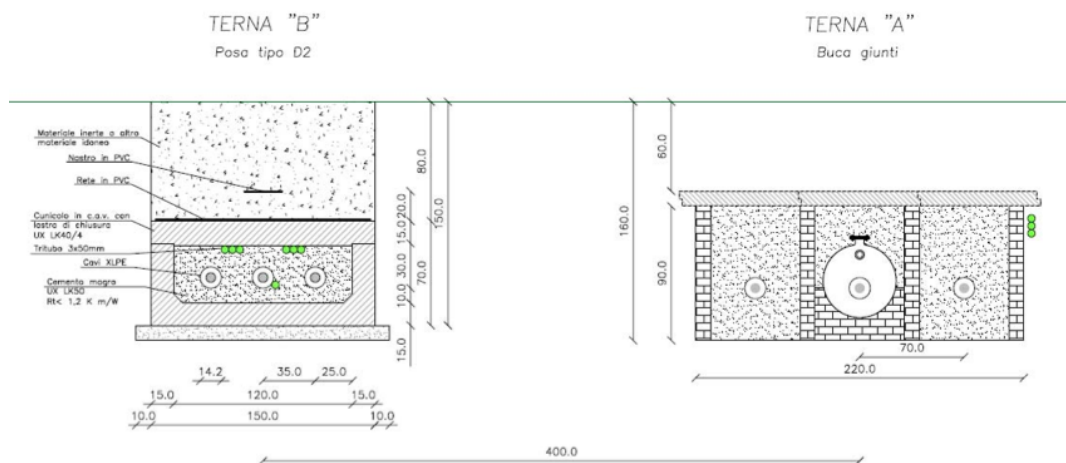


Figura 2: Affiancamento tra due linee interrate AT

Condizioni di carico e relazioni di fase:

- Terna B: $I_{eff} = 1500$ A (RST)
- Terna A: $I_{eff} = 1500$ A (TSR)

La configurazione analizzata mediante il codice sviluppato dal CESI porta alla distribuzione di campo riportata in Figura 3.

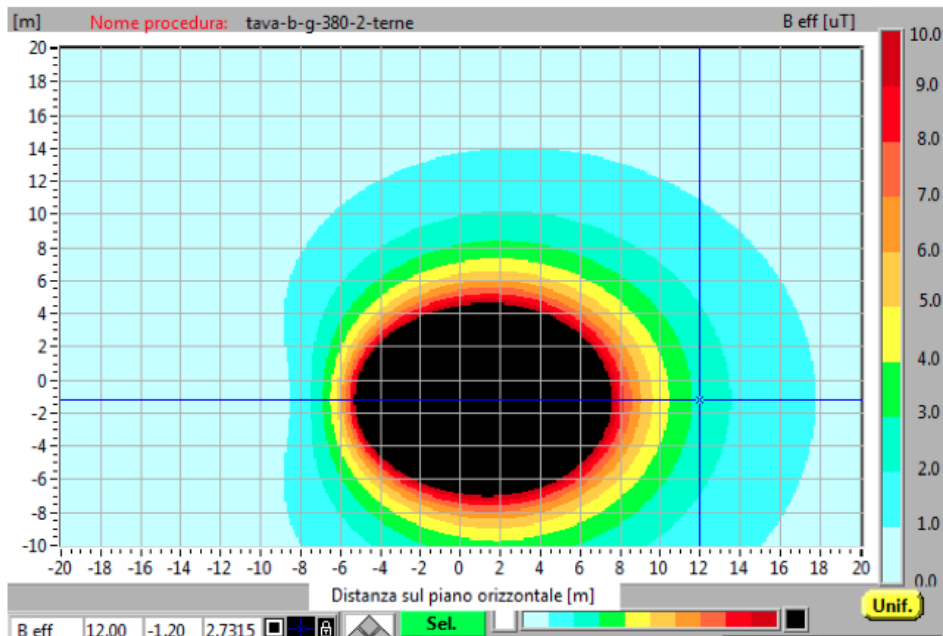


Figura 3: Mappa cromatica delle induzioni magnetiche calcolata mediante software CESI

La stessa configurazione è stata analizzata mediante il codice MAGIC[®] e può essere studiata attraverso due possibili funzioni messe a disposizione dal software:

- Terne parallele
- Multiconduttori 2D

In questo documento verrà utilizzato il Multiconduttore 2D (Fig. 4) che permette di definire un sistema di N conduttori posizionati arbitrariamente in cui viene applicata una corrente arbitraria.

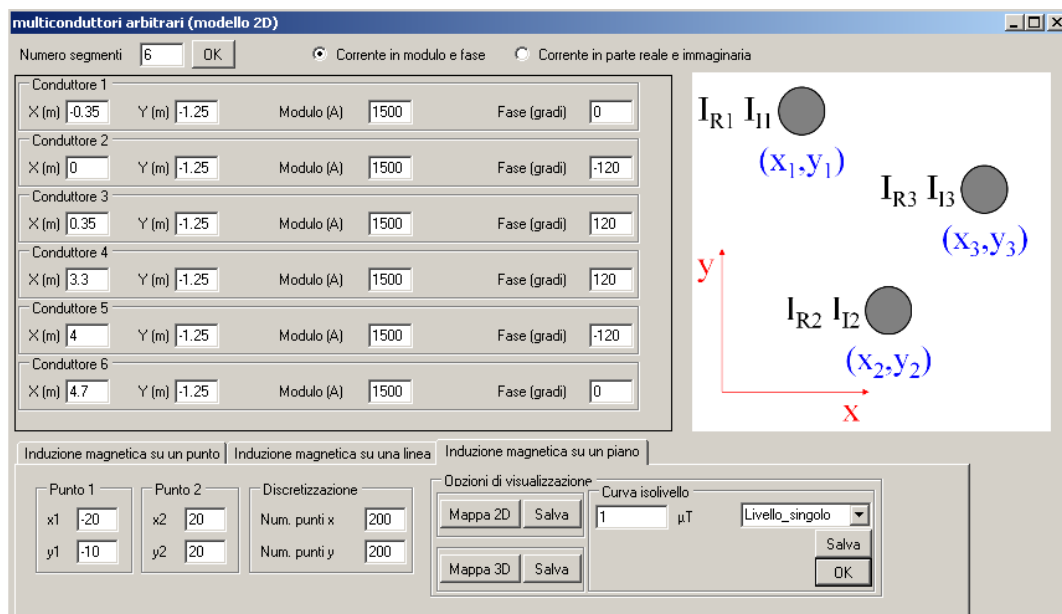


Figura 4:Schermata di ingresso modulo “multiconduttori arbitrari (modello 2D)””: dati definizione geometria e sorgenti

Nella seguente Fig. 5 è riportata la “geometria” del sistema che può essere visualizzata al termine dell’inserimento dati.

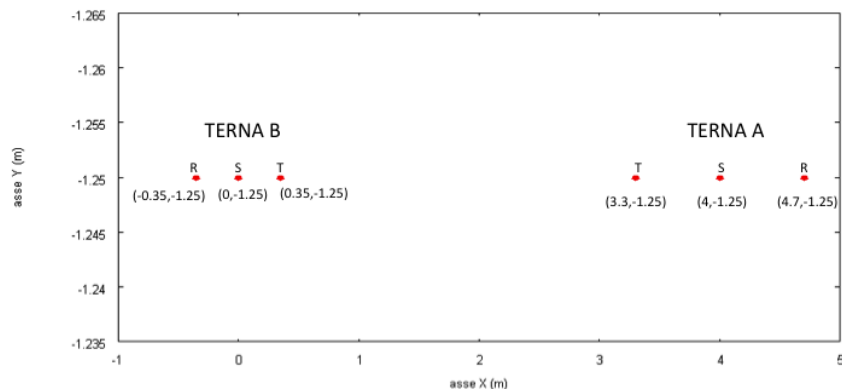


Figura 5: Geometria sorgenti

In Fig. 6 è riportata la mappa cromatica dell’induzione magnetica ottenuta dal software MAGIC® (valori in microT):

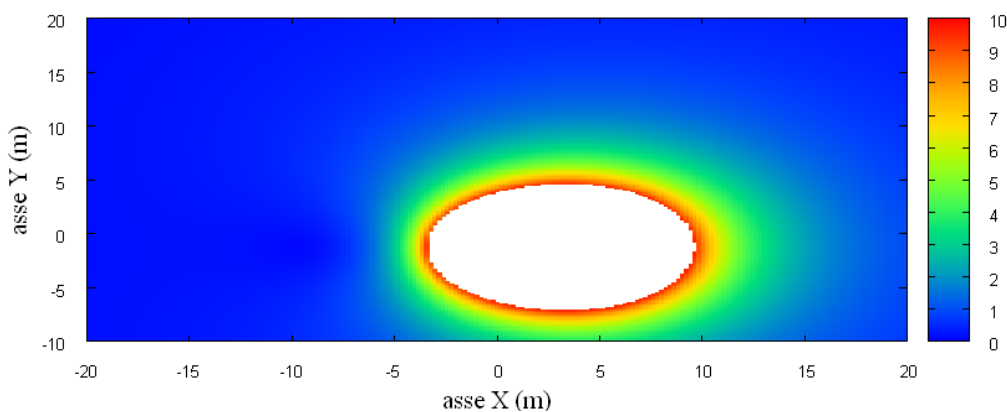


Fig. 6: Mappa cromatica dell’induzione magnetica ottenuta dal software MAGIC® (valori in microT):

In Fig. 7 sono riportate le linee isolivello dell’induzione magnetica (1, 3, 10, 100 microT) visualizzabili dal software MAGIC®.

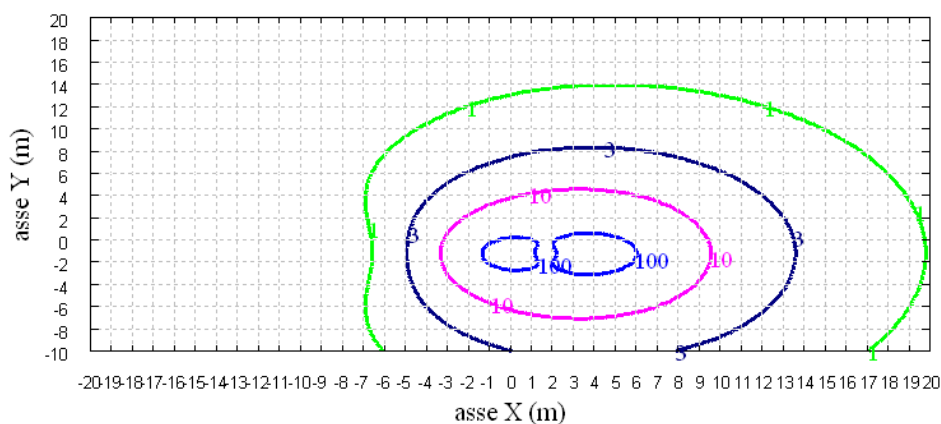
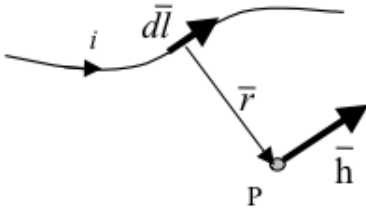


Fig. 7 Linee isolivello dell’induzione magnetica (1, 3, 10, 100 microT) da software MAGIC®.

Come si può osservare le mappe cromatiche dei due modelli risultano essere in perfetto accordo.

2 Verifica del modulo tridimensionale

Il modulo tridimensionale del MAGIC® si basa principalmente sull'integrazione della formula di Biot-Savart:

$\vec{h} = \int \frac{i d\vec{l} \times \vec{r}}{4\pi r^3}$	
---	--

Nelle configurazioni impiantistiche si ha spesso a che fare con fasci di cavi che il cui profilo copre percorsi approssimabili con buona precisione a delle spezzate tridimensionali. Ogni spezzata è quindi modellabile mediante una successione di segmenti opportunamente orientati nello spazio. Ne consegue che, sapendo valutare il campo di un segmento arbitrariamente orientato nello spazio, è possibile calcolare il campo prodotto da un fascio di cavi mediante la sovrapposizione degli effetti di tutti i segmenti costituenti il fascio.

2.1 Campo prodotto da un segmento finito arbitrariamente orientato

Si consideri il segmento rappresentato nella Fig. 8.

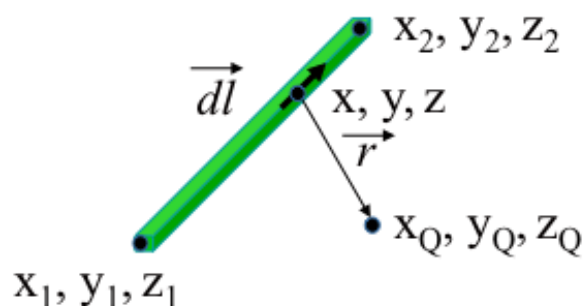


Fig. 8: Modello del segmento.

L'equazione del segmento in forma parametrica diventa la seguente:

$$\hat{x} = x_1 + (x_2 - x_1)t$$

$$\hat{y} = y_1 + (y_2 - y_1)t$$

$$\hat{z} = z_1 + (z_2 - z_1)t$$

Si consideri inoltre che:

$$\vec{r} = (x_Q - x)\vec{a}_x + (y_Q - y)\vec{a}_y + (z_Q - z)\vec{a}_z$$

$$d\vec{l} = dx\vec{a}_x + dy\vec{a}_y + dz\vec{a}_z$$

Facendo le opportune sostituzioni, la formula di Biot-Savart può essere risolta conducendo ad una formula chiusa per il calcolo delle tre componenti di campo H_x , H_y e H_z (ovvero B_x , B_y e B_z). L'integrazione, sebbene sia macchinosa e porti ad espressioni analitiche poco compatte, può essere semplicemente risolta mediante l'utilizzo di un processore simbolico. Per tutti i dettagli circa l'integrazione si consideri la seguente referenza:

Canova A.; F. Freschi; M. Repetto; M. Tartaglia, (2005), *Description of Power Lines by Equivalent Source System*. In: COMPEL, vol. 24, pp. 893-905. - ISSN 0332-1649

2.2 Validazione sperimentale del modulo tridimensionale

In Fig. 9 viene rappresentata una spira costituita da 4 conduttori rettilinei che ben rappresenta una sorgente di tipo tridimensionale.

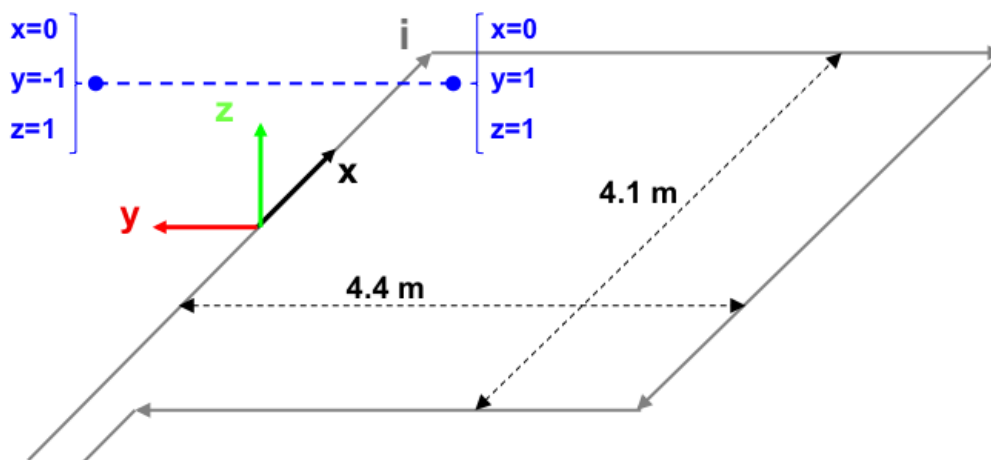


Fig. 9: Schema di spira quadrata.

Nella stessa immagine viene rappresentata una linea di confronto con le seguenti caratteristiche:

- È posta a 1 m da terra → $z = \text{costante} = 1 \text{ m}$
- Si estenda lungo l'asse y → $x = \text{costante} = 0 \text{ m}$
- È lunga due metri: → $y \text{ minimo} = -1 \text{ m}$, $y \text{ massimo} = 1 \text{ m}$

Su tale linea di confronto sono state eseguite delle misure sperimentali mediante sistema composto da sonda PMM-EHP50 C le cui caratteristiche sono riportate nel seguente elenco:

- Range di frequenze 5Hz – 100 kHz
- Range di campo elettrico 0.01 V/m – 100 kV/m
- Range di campo magnetico 1 nT – 10 mT
- Risoluzione 0.01 V/m - 1 nT
- Tempo di campionamento 30, 60 sec
- Massima acquisizione 1600 ore con acquisizione ogni 60 sec.
- SPAN 100, 200,500 Hz, 1 kHz, 2 kHz, 10 kHz, 100 kHz

Viene infine eseguito il confronto tra misure sperimentali e calcolo eseguito mediante software MAGIC[®]. I risultati di confronto sono riassunti nella seguente figura.

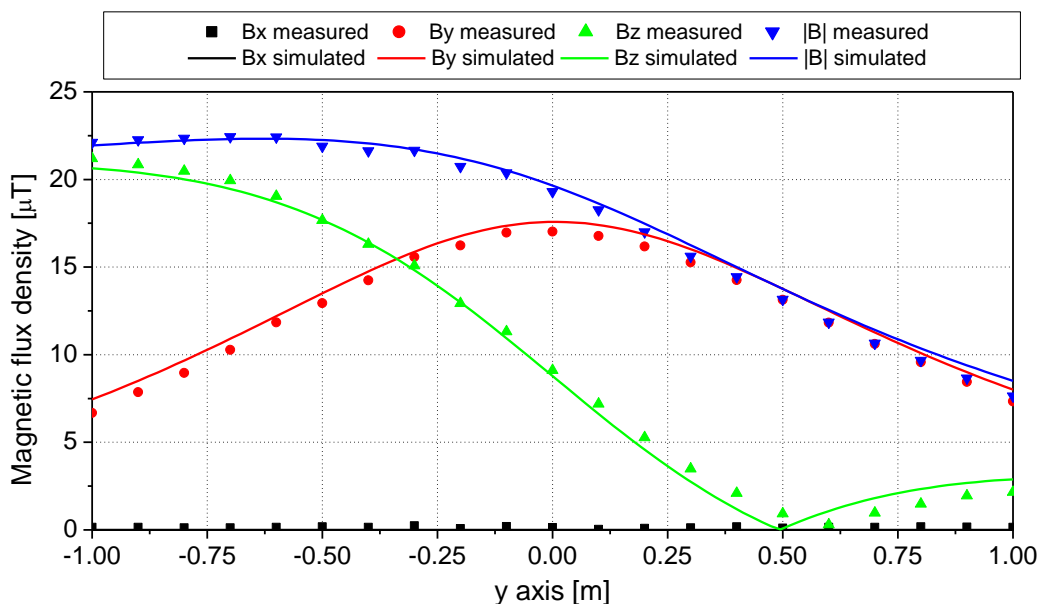


Fig. 10: Induzione magnetica misurata e calcolata mediante software MAGIC®.

Si dimostra quindi che le misure sperimentali sono in perfetto accordo con il modello implementato nel software MAGIC®.

3 Verifica del modulo tridimensionale:trasformatore di potenza

In questa sezione vengono riportati i principali risultati ottenuti utilizzando il software MAGIC® nella simulazione dei campi generati da un trasformatore in resina (il trasformatore in olio rappresenta una situazione semplificata rispetto a quello in resina).

La validazione è condotta in due step:

- Verifica del modello MAGIC della singola colonna del trasformatore con modello FEM (Finite Element Method)
- Verifica del modello MAGIC del trasformatore completo con misure sperimentali

Maggiore dettaglio sui confronti sono riportati nella seguente referenza:

A. Canova, L. Giaccone, M. Manca, R. Turri, P. Casagrande, "Simplified power transformer models for environmental magnetic impact analysis", 2° Int. Conf. on EMF-ELF, Paris, 24-25 Marzo 2011.

3.1 Verifica del modello MAGIC della singola colonna del trasformatore con modello FEM (Finite Element Method)

MAGIC® propone due diversi modelli per il trasformatore: il primo di tipo semplificato e valido a partire da circa 0.5-1m dal trasformatore, il secondo più rigoroso valido anche a piccole distanze dal trasformatore. Nel seguito i due modelli verranno indicati come Modello 1 e Modello 2.

Un primo confronto tra i due modelli è stato effettuato con un codice agli elementi finiti (FEMM) di tipo assialsimmetrico. In Figura 11 sono riportate le principali dimensioni del caso analizzato: avvolgimento primario e secondario di un trasformatore di 630 kVA in resina e l'indicazione delle linee di calcolo.

Nei calcoli che seguono i due avvolgimenti sono caratterizzati dalle stesse amperspire in opposizione ($N1 \cdot I1 = N2 \cdot I2$) e verranno considerate, come sorgenti, le correnti nominali.

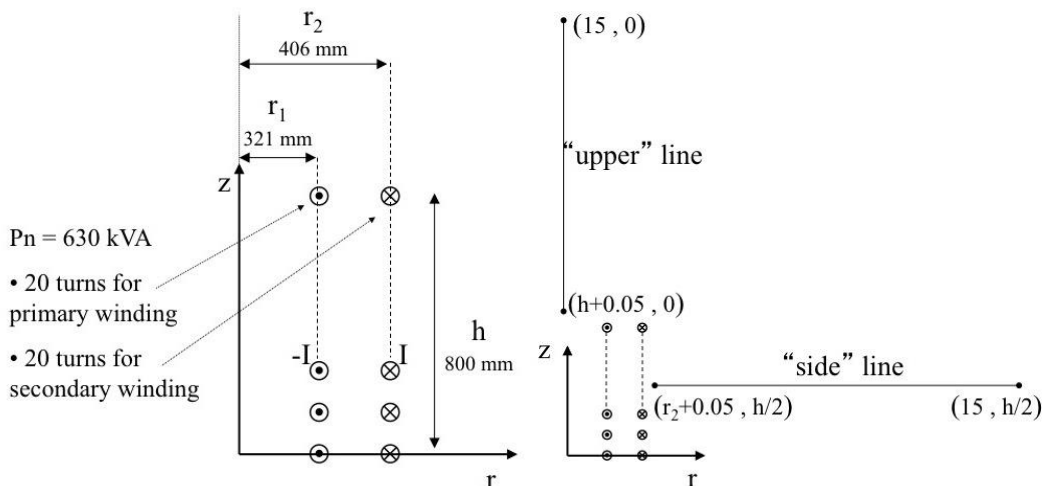


Fig. 11. Geometria del sistema (1) e linee di calcolo (2)

Le Fig. 12 e 13 mostrano, rispettivamente, i valori di induzione magnetica lungo la linea ad 1m dal lato degli avvolgimenti e lungo la linea ad 1.5 m sopra gli avvolgimenti. Le figure mettono a confronto il “modello 1 e 2” ed il calcolo, assunto come riferimento, effettuato mediante codice FEM.

Si può osservare un ottimo accordo tra i “modelli 1 e 2” adottati nel MAGIC® lungo entrambe le linee mentre per distanze inferiori al metro il modello semplificato, con particolare riferimento al campo lungo la linea verticale, risulta portare a delle discrepanze significative. Per tali distanze è pertanto conveniente utilizzare il “modello 2” che risulta più accurato a spese di un maggiore peso computazionale (nell’ordine comunque delle decine di secondi).

I modelli inseriti nel MAGIC® sono inoltre confrontati con il modello proposto da un altro software commerciale (EFC-400) che verrà denominato “Modello 3”. Tale modello è basato sull’ipotesi che il campo magnetico disperso, essendo correlato con la reattanza di dispersione del trasformatore, risulta quantitativamente correlato alla tensione di corto circuito. Il modello proposto da EFC-400 è quindi costituito da un unico avvolgimento (che sintetizza il primario ed il secondario) percorso da una corrente ridotta, rispetto alla corrente nominale, secondo la seguente formula:

$$I = I_R \cdot \frac{V_{SC} \%}{100} \quad (14)$$

in cui I_R è la corrente nominale (di primario o secondario) e V_{SC} è la tensione di cortocircuito percentuale. Può essere utilizzata la corrente di primario o di secondario (I_{R1} o I_{R2}) e corrispondentemente occorre considerare le spire di primario o secondario (N_1 e N_2).

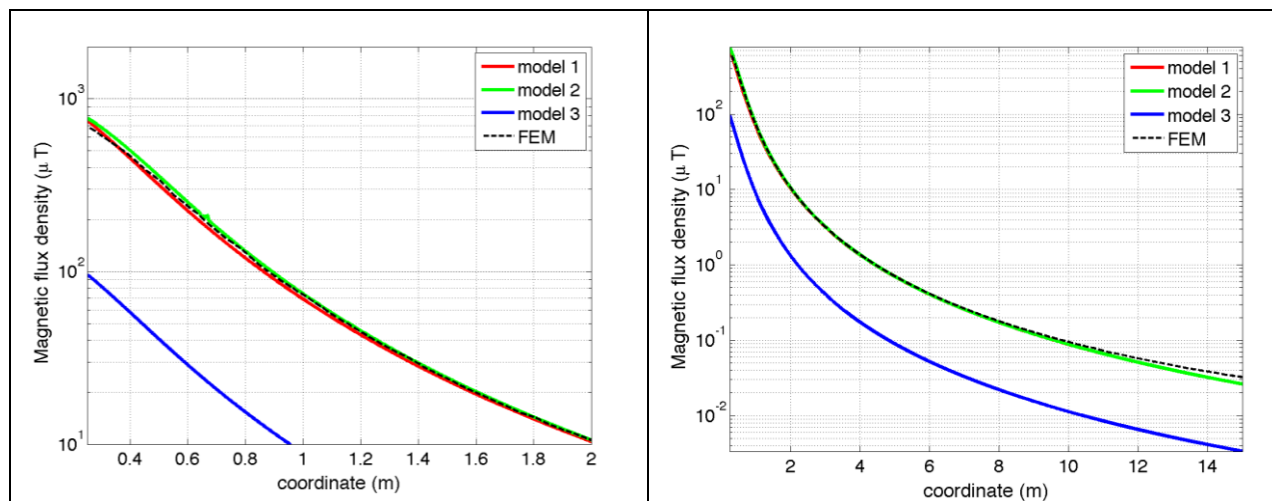


Fig. 12. Induzione magnetica lungo la linea laterale

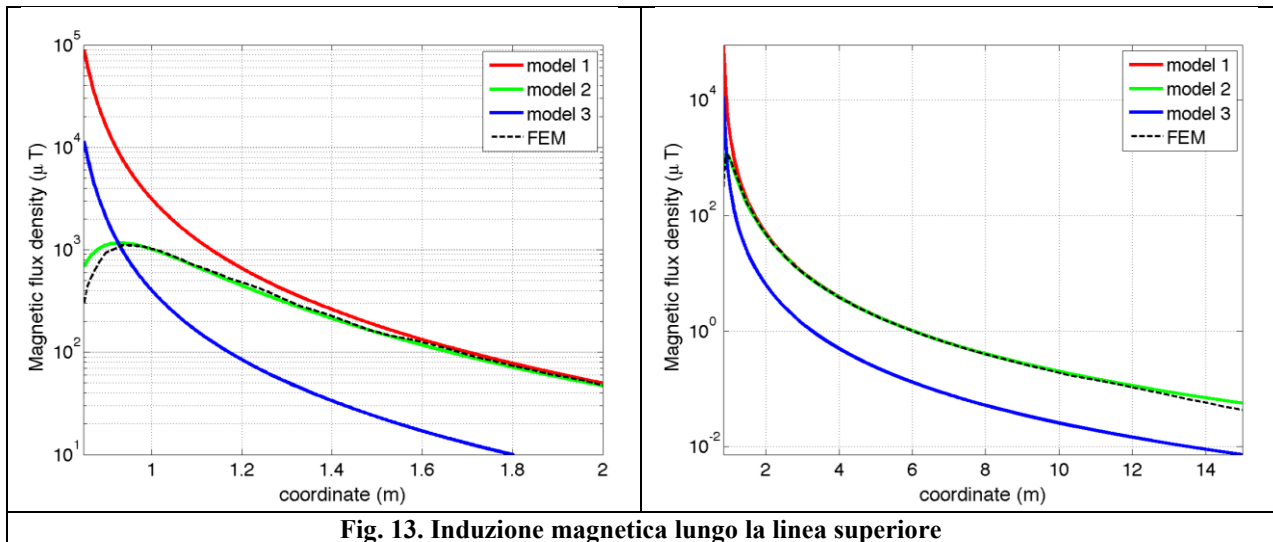


Fig. 13. Induzione magnetica lungo la linea superiore

Come si può osservare dai profili di induzione magnetica il modello 3 risulta scarsamente idoneo a modellare i due avvolgimenti concentrici di primario e secondario.

3.2 Verifica del modello MAGIC del trasformatore completo con misure sperimentali

In questo paragrafo il modelli vengono confrontati con dati sperimentali. Il caso analizzato si riferisce ad un trasformatore in resina da 630 kVA, 15kV/400V, funzionante in condizioni di corto circuito (Fig. 14). Il trasformatore viene alimentato con una tensione che fa circolare negli avvolgimenti una corrente pari al 42% della corrente nominale, si ha quindi 10.4 A di primario (lato MT) e 390 A di secondario (lato BT). Il modello del trasformatore risulta quindi completo e costituito da tutti gli avvolgimenti delle tre fasi.

Le linee di calcolo S1 ed S2 (Fig. 15) sono poste ad 1.5m dal piano di appoggio del trasformatore. E' importante sottolineare che il contributo dei terminali di BT influisce significativamente il campo magnetico ambientale, specialmente nella direzione S1. Pertanto, l'introduzione di tali sorgenti aggiuntive agli avvolgimenti porta ad una riduzione degli scostamenti tra i vari modelli.

In Fig. 16 e 17 sono riportati i confronti tra le induzioni magnetiche, lungo le linee S1 ed S2, misurate e calcolate con i diversi modelli.

Come si può osservare, in particolare per la linea S2 (dove il contributo delle connessioni è trascurabile) il modello 1 ed il modello 2 approssimano in modo soddisfacente i dati sperimentali.

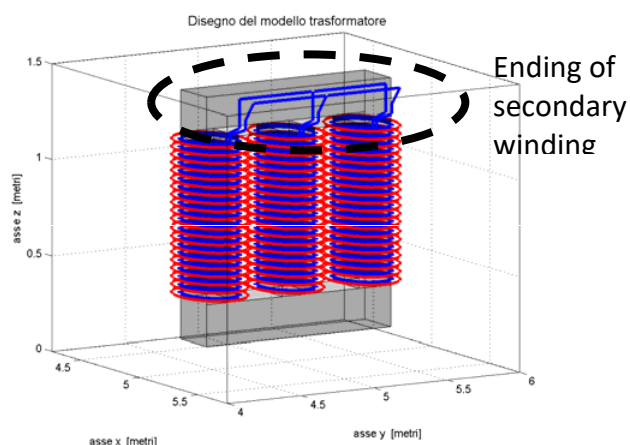


Fig. 14: Connessioni elettriche considerate al lati BT.

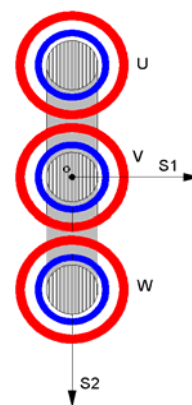


Fig. 15: Linee di calcolo S1 ed S2

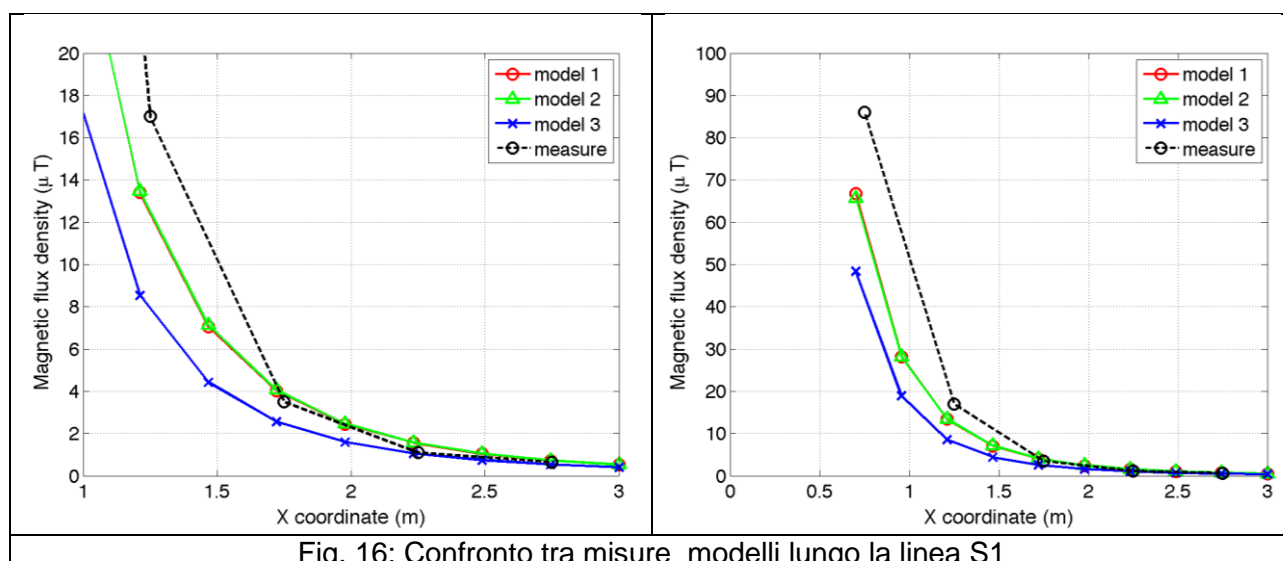


Fig. 16: Confronto tra misure modelli lungo la linea S1

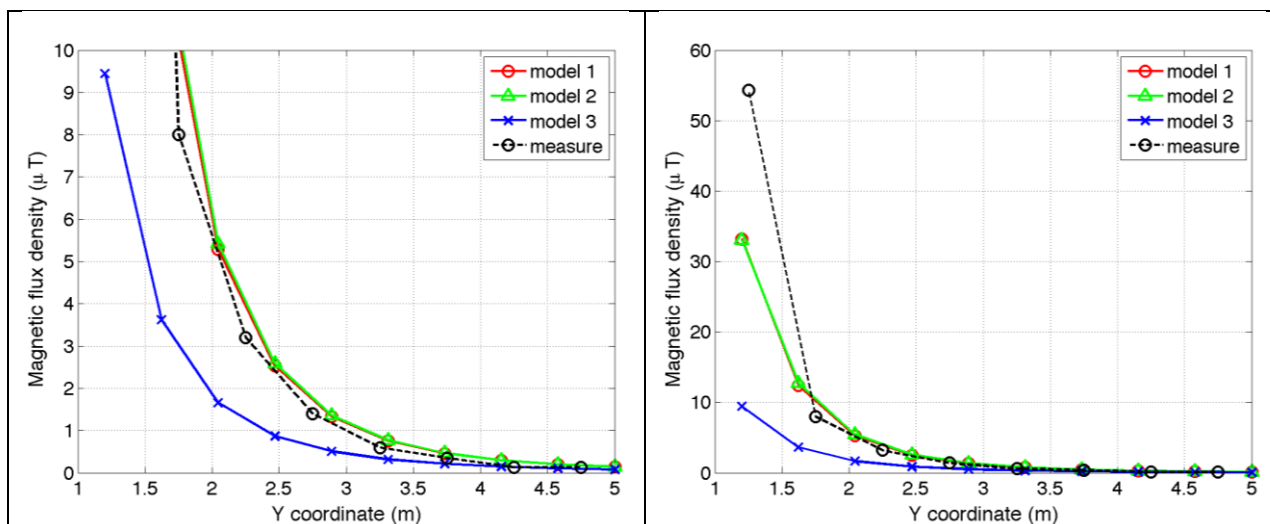


Fig. 17. Confronto tra misure modelli lungo la linea S2

Conclusioni

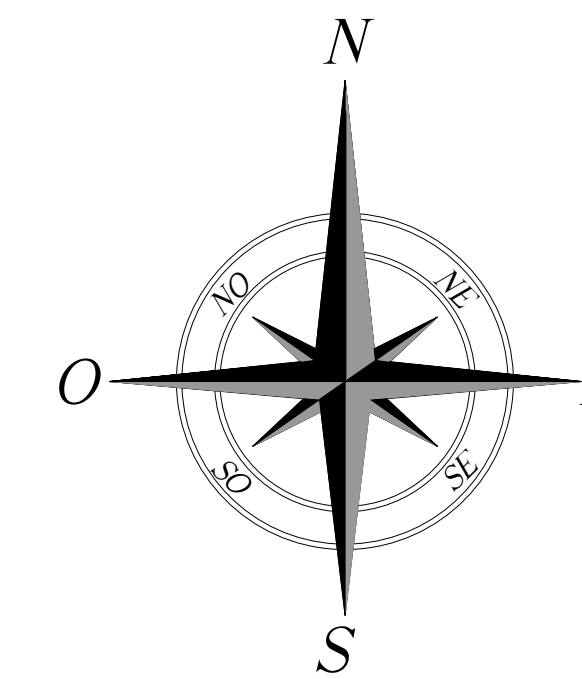
Il presente documento si propone di fornire alle autorità competenti tutti gli elementi necessari affinché il software MAGIC® possa essere validato secondo quanto richiesto dal Decreto Ministeriale (160) del 29/05/2008 “Approvazione della metodologia di calcolo per la determinazione delle fasce di rispetto per gli elettrodotti”.

Come indicato nell’art. 5.1.2 (Calcolo delle fasce di rispetto per linee elettriche) del decreto del 29/05/2008, i modelli tridimensionali non sono ancora standardizzati, tuttavia un software in cui i modelli soddisfino ai seguenti requisiti indicati nel decreto:

“...i modelli utilizzati devono essere descritti in termini di algoritmi implementati, condizioni al contorno e approssimazioni attuate. Essi devono essere validati attraverso misure o per confronto con modelli che abbiano subito analogo processo di verifica. La documentazione esplicativa e comprovante i criteri di cui sopra deve essere resa disponibile alle autorità competenti ai fini dei controlli”, può essere ritenuto idoneo allo scopo e, a tal fine, è stato redatto il presente documento.

Per quanto concerne in particolare le cabine elettriche, la complessità delle sorgenti in esame richiede una valutazione accurata che tenga conto principalmente della tridimensionalità delle singole sorgenti e l’effetto prodotto dalla combinazione delle stesse (sovrapposizione degli effetti). Nelle analisi precedentemente svolte sono stati analizzati e validati i principali componenti costituenti le cabine quali linee elettriche di connessione (tratti di conduttori di lunghezza finita), quadri elettrici (tratti conduttori di lunghezza finita) e trasformatori (elementi toroidali e tratti di conduttore di lunghezza finita).

Dai risultati ottenuti e presentati è quindi possibile concludere che il Software MAGIC® ha le caratteristiche per essere rispondente alle indicazioni richieste dal Decreto Ministeriale (160) del 29/05/2008, lasciando ovviamente alle autorità competenti la verifica ed il giudizio finale.



Realizzazione di un impianto Agrovoltaiico della potenza nominale in DC di 49,007 MWp e potenza in AC di 45 MW denominato "Morrone" e delle relative opere di connessione alla Rete di Trasmissione dell'energia elettrica Nazionale (RTN) nei Comuni di San Martino in Pensilis (CB) e Larino (CB)

Proponente
Sviluppatore

PIVEXO 1 S.r.l.

Greenergy

PIVEXO 1 SRL
Via S. Maria delle Grazie, 10
01023 Larino (CB) - Italia
P.IVA 0204010720 - R.E.A. TA-112223
www.pivexo1.it

GREENERGY SRL
Via S. Maria delle Grazie, 10
01023 Larino (CB) - Italia
P.IVA 0204010720 - R.E.A. TA-112223
www.greenergy.it

Elaborato PIANO TECNICO OPERE UTENTE
Planimetria catastale con A.P.I.

Data
01/02/2023

Codice Progetto	Nome File	Catastale - A.P.I.	Revisione	Foglio	Scala
GREEN GP-118			00	A0	1:1000

Rev.	Descrizione	Data	Disegnato	Verificato	Approvato
00	Progettazione				PIVEXO 1 SRL

LEGENDA

- CAVIDOTTO INTERRATO MT DA REALIZZARE
- CAVIDOTTO INTERRATO AT DA REALIZZARE
- CONFINI FOGLI CATASTALI
- AREA D'INSTALLAZIONE NUOVA CENTRALE FOTOVOLTAICA
- AREA DI INGOMBRO STAZIONE DI ELEVAZIONE DI NUOVA REALIZZAZIONE
- AREA DI INGOMBRO STAZIONE DI ELEVAZIONE DI NUOVA REALIZZAZIONE
- LINEE ELETTRICHE AT ESISTENTI
- LINEE ELETTRICHE MT ESISTENTI
- METANODOTTO RILEVATO
- CABINE CONSORZIO DI BONIFICA
- CABINE CONSORZIO DI BONIFICA
- AREA POTENZIALMENTE IMPEGNATA A.P.I.

Area Stazione di Elevazione di nuova realizzazione

Stazione Elettrica di Terna "Larino"

